Solução Numérica da Equação de Navier Stokes

Orientador: Yuri Dumaresq Sobral

Ataias Pereira Reis

1 Introdução

A equação de Navier Stokes é apresentada abaixo, essa é a equação que governa a dinâmica dos fluidos.

$$\rho \left(\frac{\partial \mathbf{v}}{\partial t} + \mathbf{v} \cdot \nabla \mathbf{v} \right) = -\nabla p + \mu \nabla^2 \mathbf{v} + \mathbf{f}$$
(1)

$$\nabla \cdot \mathbf{v} = 0 \tag{2}$$

Neste trabalho consideraremos um campo vetorial de duas dimensões. A equação de Navier Stokes é fortemente não-linear. Isso ocorre devido aos termos de convecção (aceleração independente do tempo, $\mathbf{v} \cdot \nabla \mathbf{v}$) e gradiente de pressão (∇p) .

A abordagem para se obter uma solução para a equação dos fluidos é de seguir o método de Chorin[1] com malha escalonada. Para cada passo de tempo, há 3 etapas a serem realizadas. Será utilizado time-splitting de forma a se desacoplar a pressão da velocidade, ambas incógnitas.

O que deve ser definido antes de se resolver tal equação são os parâmetros do fluido, μ e ρ (massa específica), a força externa \mathbf{f} e as condições de fronteira. Nosso interesse inicial é resolver o problema da cavidade num quadradro de lado igual a 1 numa malha de n pontos. As condições de fronteira são $u(x,1) = \sin \pi x^2$ e zero caso contrário.

A seguir será feita uma introdução do que vem a ser *time-splitting*, de forma a se compreender este trabalho.

1.1 Time-splitting

A primeira etapa neste método de resolução é o time-splitting. A discretização no tempo tem duas etapas. Para se entender isso, começamos com a equação abaixo:

$$\frac{\partial \mathbf{v}}{\partial t} \approx \frac{\mathbf{v}^{n+1} - \mathbf{v}^n}{\Delta t} = \frac{\mathbf{v}^{n+1} - \mathbf{v}^*}{\Delta t} + \frac{\mathbf{v}^* - \mathbf{v}^n}{\Delta t}$$
(3)

A ideia do time-splitting é responsabilizar cada um dos termos do lado direito desta equação com uma parte da equação de Navier-Stokes. Reescrevendo a equação de Navier-Stokes:

$$\frac{\mathbf{v}^{n+1} - \mathbf{v}^*}{\Delta t} + \frac{\mathbf{v}^* - \mathbf{v}^n}{\Delta t} = -\frac{1}{\rho} \nabla p + \nu \nabla^2 \mathbf{v} + \frac{\mathbf{f}}{\rho} - \mathbf{v} \cdot \nabla \mathbf{v}$$

Agora, é possível impor o seguinte:

$$\frac{\mathbf{v}^* - \mathbf{v}^n}{\Delta t} = \nu \nabla^2 \mathbf{v} + \frac{\mathbf{f}}{\rho} - \mathbf{v} \cdot \nabla \mathbf{v}$$
 (4)

$$\frac{\mathbf{v}^{n+1} - \mathbf{v}^*}{\Delta t} = -\frac{1}{\rho} \nabla p \tag{5}$$

A equação 4 pode ser discretizada e então obtemos \mathbf{v}^* . A equação 5, por sua vez, não pode ser diretamente discretizada e resolvida pois não se sabe \mathbf{v}^{n+1} . No entanto, se o gradiente da equação for obtido, tem-se:

$$\nabla \cdot \left(\frac{\mathbf{v}^{n+1} - \mathbf{v}^*}{\Delta t} \right) = \nabla \cdot \frac{\mathbf{v}^{n+1}}{\Delta t} - \nabla \cdot \frac{\mathbf{v}^*}{\Delta t}$$
$$= -\frac{1}{\rho} \nabla^2 p$$

A equação da continuidade $\nabla \cdot \mathbf{v} = 0$ tem de valer para \mathbf{v}^{n+1} , logo:

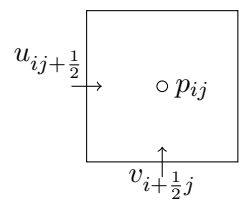
$$\nabla^2 p = \frac{\rho}{\Delta t} \nabla \cdot \mathbf{v}^* \tag{6}$$

Nos próximos passos, iremos fazer o seguinte:

- 1. obter \mathbf{v}^* , que seria o intermediário entre \mathbf{v}^n e \mathbf{v}^{n+1}
- 2. obter a pressão, p
- 3. obter \mathbf{v}^{n+1}

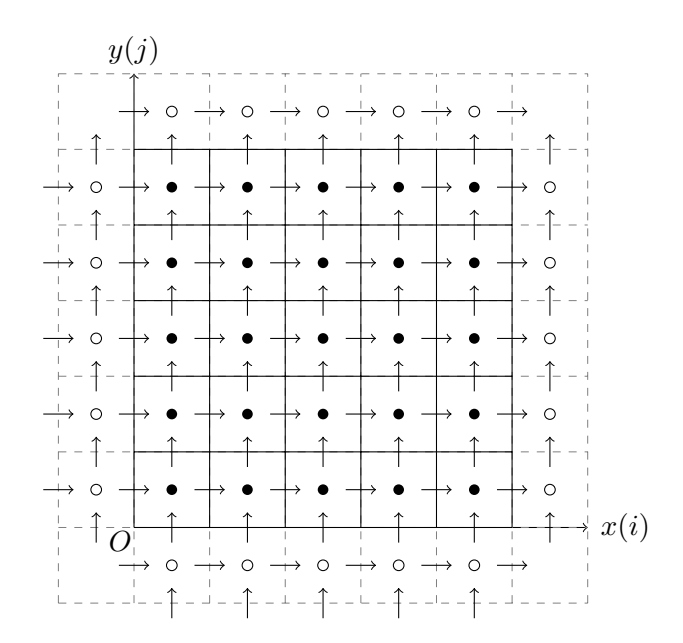
1.2 Malha escalonada

De forma sintética: o uso de uma malha normal pode gerar modos espúrios de pressão indesejados. Uma outra forma de representar os dados nas matrizes é a escalonada. Nela, o ponto ij, ao invés de representar a velocidade $\mathbf{v}(i\Delta x,j\Delta y)$, representará a velocidade $u(i\Delta x,(j+\frac{1}{2})\Delta x)$ e $v((i+\frac{1}{2})\Delta x,j\Delta x)$. Logo, ao invés de um ponto ij é melhor pensar num pequeno quadrado de índice ij que contém as velocidades, pressão e força utilizadas em nosso problema. Consideramos a força em x e y na mesma posição que as velocidades. A pressão permanece no centro do quadrado. A figura abaixo ilustra isso:



Uma representação de um domínio mais completo está na figura abaixo. Note que cada ponto preto no meio de um bloco é a pressão em ponto interno. Enquanto a pressão em pontos da fronteira imaginária são círculos com interior branco. Pontos na fronteira imaginária são utilizados nos cálculos, mas não precisam ser salvos no resultado final.

Se é definida, no computador, uma matriz $n \times n$, tem-se $\Delta x = \frac{1}{n-2}$. Os cálculos devem ser todos feitos com base neste Δx . Além disso, note que as velocidades da extrema esquerda e do extremo inferior não são utilizadas. Você pode declarar tais valores como Not a Number. Se seu programa utilizá-los, há algo errado.



2 Física

Antes de iniciar-se a resolução numérica da equação de Navier Stokes, seja qual for o método escolhido, é necessário ter em mente que certas condições físicas devem ser satisfeitas de modo a se ter um resultado que convirja numericamente. As restrições irão determinar quais os mínimos/máximos de Δt e Δx . Nesta seção veremos as condições de difusão estável, advecção (ou transporte) estável e camada limite hidrodinâmica.

Além de restrições físicas, iremos também introduzir o número de Reynolds: Re. Este é um número adimensional no qual se escolhe uma velocidade e tamanho característicos para o problema em questão. O número de Reynolds é dado por:

$$Re = \frac{\rho LU}{\mu} \tag{7}$$

Neste trabalho, tem-se um quadrado de lado 1. Seja então L=1 o tamanho característico e U=1 a velocidade característica (note que esse U é a velocidade que multiplica a condição de fronteira $u(x,1)=U\sin\pi x$). Ainda, escolha $\rho=1$. Desta forma:

$$Re = \frac{1}{\mu} \tag{8}$$

As equações de Navier Stokes são discretizadas adiante com ρ e μ . Utilizaremos o número de Reynolds por meio da técnica mostrada aqui e variar-se-á somente μ para influenciar as características do escoamento.

2.1 Difusão Estável

$$\Delta t < \frac{1}{4} Re \Delta x^2 \tag{9}$$

2.2 Advecção Estável

$$\Delta t < \frac{\Delta x}{U} \tag{10}$$

2.3 Camada Limite Hidrodinâmica

O que é essa camada mesmo?

$$\begin{array}{lcl} Re_{\Delta x} & = & \displaystyle \frac{\rho U \Delta x}{\mu} < 1 \\ Re_{\Delta x} & = & \displaystyle \frac{\rho U \Delta x}{\mu} \frac{L}{L} \\ & = & \displaystyle \frac{\rho U L}{\mu} \frac{\Delta x}{L} = Re \cdot \lambda < 1 \end{array}$$

Assim

$$\lambda < \frac{1}{Re} \tag{11}$$

3 Resolução Numérica

3.1 Desconsiderando a pressão

A velocidade \mathbf{v}^* não leva em conta a pressão. Primeiramente, discretizamos a Equação 4 por meio de diferenças finitas. A parte da direita de cada equação é avaliada no tempo passado, enquanto a parte da esquerda é o resultado no tempo estrela.

$$\mathbf{v}_{ij}^{s} = (u_{i+1j}^{n} + u_{i-1j}^{n} + u_{ij+1}^{n} + u_{ij-1}^{n})\mathbf{i}$$

$$+ (v_{i+1j}^{n} + v_{i-1j}^{n} + v_{ij+1}^{n} + v_{ij-1}^{n})\mathbf{j}$$

$$\mathbf{v}_{ij}^{t} = 0.25(u_{ij}^{n} + u_{i+1j}^{n} + u_{i+1j-1}^{n} + u_{ij-1}^{n})\mathbf{i}$$

$$+ 0.25(v_{ij}^{n} + v_{i-1j}^{n} + v_{i-1j+1}^{n} + v_{ij+1}^{n})\mathbf{j}$$
(13)

$$u_{ij}^{*} = u_{ij}^{n} + \frac{\Delta t}{\rho} \left[\mu \left(\frac{u_{ij}^{s} - 4u_{ij}^{n}}{\Delta x^{2}} \right) + Fx_{ij}^{n} \right] + \left[u_{ij}^{n} (u_{i+1j}^{n} - u_{i-1j}^{n}) + v_{ij}^{t} (u_{ij+1}^{n} - u_{ij-1}^{n}) \right] \frac{\Delta t}{2\Delta x}$$

$$(14)$$

$$v_{ij}^{*} = v_{ij} + \frac{\Delta t}{\rho} \left[\mu \left(\frac{v_{ij}^{s} - 4v_{ij}^{n}}{\Delta x^{2}} \right) + F y_{ij}^{n} \right] - \left[u_{ij}^{t} (v_{i+1j}^{n} - v_{i-1j}^{n}) + v_{ij}^{n} (v_{ij+1}^{n} - v_{ij-1}^{n}) \right] \frac{\Delta t}{2\Delta x}$$

$$(15)$$

Note que as equações acima são só válidas para pontos internos à malha escalonada. Os pontos de fronteira não sofrem alteração nenhum nesta etapa. É importante atender às condições de não deslizamento e impenetrabilidade em todo momento.

3.2 Obter a pressão

Como já foi apresentado na seção de introdução, a segunda etapa é obter a pressão, por meio da Equação 16.

$$\nabla^2 p = \frac{\rho}{\Delta t} \nabla \cdot \mathbf{v}^* = \frac{\rho}{\Delta t} \left(\frac{\partial u^*}{\partial x} + \frac{\partial v^*}{\partial y} \right)$$
 (16)

Para cada ponto ij da malha, deve-se calcular a não-homogeneidade apresentada na direita da Equação 16:

$$DIV_{ij} = \frac{\rho}{\Delta t} \left(\frac{u_{i+1j}^* - u_{ij}^*}{\Delta x} + \frac{v_{ij+1}^* - v_{ij}^*}{\Delta x} \right)$$
(17)

A equação 16 é uma equação de Poisson. Para pontos internos à malha, tem-se:

$$p_{ij} = \frac{1}{4} [(p_{i+1j} + p_{i-1j} + p_{ij+1} + p_{ij-1}) - \Delta x^2 DIV_{ij}]$$
(18)

O que acontece com as condições de fronteira? Ainda não sabemos quais são elas, é necessário que sejam obtidas antes de se resolver a equação de Poisson. Para obter tais condições, considere novamente a equação de Navier Stokes:

$$\rho \left(\frac{\partial \mathbf{v}}{\partial t} + \mathbf{v} \cdot \nabla \mathbf{v} \right) = -\nabla p + \mu \nabla^2 \mathbf{v} + \mathbf{f}$$
$$\nabla \cdot \mathbf{v} = 0$$

Destrinchando a equação para duas coordenadas, tem-se:

$$\frac{\partial u}{\partial t} + u \frac{\partial u}{\partial x} + v \frac{\partial u}{\partial y} = -\frac{1}{\rho} \frac{\partial p}{\partial x} + \nu \left(\frac{\partial^2 u}{\partial x^2} + \frac{\partial^2 u}{\partial y^2} \right) + f_x \tag{19}$$

$$\frac{\partial v}{\partial t} + u \frac{\partial v}{\partial x} + v \frac{\partial v}{\partial y} = -\frac{1}{\rho} \frac{\partial p}{\partial y} + \nu \left(\frac{\partial^2 v}{\partial^2 x} + \frac{\partial^2 v}{\partial^2 y} \right) + f_y \tag{20}$$

Se fizermos uma análise dos pontos na parede da esquerda ou direita, nossa fronteira, e aplicarmos as condições de impenetrabilidade e não-deslizamento, que dizem que u=0 e v=0 na parede, temos a simplificação da equação, pois vários termos se tornam zero. As Equações 21 e 22 são as condições de fronteira, tipo Neumann, para as paredes verticais e horizontais, respectivamente.

$$\left. \frac{\partial p}{\partial x} \right|_{\text{parede}} = \rho \nu \frac{\partial^2 u}{\partial x^2} \right|_{\text{parede}} + \rho f_x$$
 (21)

$$\left. \frac{\partial p}{\partial y} \right|_{\text{parede}} = \rho \nu \frac{\partial^2 v}{\partial y^2} \bigg|_{\text{parede}} + \rho f_y$$
 (22)

O próximo passo é reescrever as Equações 21 e 22 com diferenças finitas. Para isso, foram utilizadas diferenças finitas unilaterais, para as velocidades, e centrais, para a pressão. A discretização tem ordem 2. As equações, em sequência, para as fronteiras da esquerda, direita, baixo e topo da matriz estão nas Equações 23 até 26. Todas as discretizações foram feitas com malha escalonada, lembre-se!

$$\frac{p_{ij} - p_{i-1j}}{\Delta x} = \frac{\mu}{\Delta x^2} (2u_{ij} - 5u_{i+1j} + 4u_{i+2j} - u_{i+3j}) + \rho f_{x,ij}$$
 (23)

$$\frac{\Delta x}{\Delta x} = \frac{\Delta x^2}{\Delta x}$$

$$\frac{p_{ij} - p_{i-1j}}{\Delta x} = \frac{\mu}{\Delta x^2} (2u_{ij} - 5u_{i-1j} + 4u_{i-2j} - u_{i-3j}) + \rho f_{x,ij}$$

$$\frac{p_{ij} - p_{ij-1}}{\Delta y} = \frac{\mu}{\Delta y^2} (2v_{ij} - 5v_{ij+1} + 4v_{ij+2} - v_{ij+3}) + \rho f_{y,ij}$$
(24)

$$\frac{p_{ij} - p_{ij-1}}{\Delta y} = \frac{\mu}{\Delta y^2} (2v_{ij} - 5v_{ij+1} + 4v_{ij+2} - v_{ij+3}) + \rho f_{y,ij}$$
 (25)

$$\frac{p_{ij} - p_{ij-1}}{\Delta y} = \frac{\mu}{\Delta y^2} (2v_{ij} - 5v_{ij-1} + 4v_{ij-2} - v_{ij-3}) + \rho f_{y,ij}$$
 (26)

Reescrevendo-se as equações 23 até 26, e considerando n a ordem da matriz, temos:

$$i = 1 \mid p_{i-1j} = p_{ij} - \frac{\mu}{\Delta x} \left(2u_{ij} - 5u_{i+1j} + 4u_{i+2j} - u_{i+3j} \right) - \rho \Delta x f_{x,ij}$$
 (27)

$$i = n \mid p_{ij} = p_{i-1j} + \frac{\mu}{\Delta x} \left(2u_{ij} - 5u_{i-1j} + 4u_{i-2j} - u_{i-3j} \right) + \rho \Delta x f_{x,ij}$$
 (28)

$$j = 1 \mid p_{ij-1} = p_{ij} - \frac{\mu}{\Delta x} \left(2v_{ij} - 5v_{ij+1} + 4v_{ij+2} - v_{ij+3} \right) - \rho \Delta x f_{y,ij}$$
 (29)

$$j = n \mid p_{ij} = p_{ij-1} + \frac{\mu}{\Delta x} \left(2v_{ij} - 5v_{ij-1} + 4v_{ij-2} - v_{ij-3} \right) + \rho \Delta x f_{y,ij}$$
 (30)

Dependendendo se a linguagem que você usa inicia índices de 0 ou 1, você pode precisar mudar um pouco os índices i e j acima, mas as equação permanecem as mesmas.

3.3 Resolver para o passo $t + \Delta t$

Finalmente, tem-se:

$$\frac{\mathbf{v}^{n+1} - \mathbf{v}^*}{\Delta t} = -\frac{1}{\rho} \nabla p \tag{31}$$

Expandindo para as equações escalares, tem-se:

$$u^{n+1} = u^* - \frac{\Delta t}{\rho} \frac{\partial p}{\partial x} \tag{32}$$

$$v^{n+1} = v^* - \frac{\Delta t}{\rho} \frac{\partial p}{\partial y} \tag{33}$$

Basta discretizar os termos das derivadas parciais agora:

$$p_{x,ij} = \frac{p_{ij} - p_{i-1j}}{\Delta x} \tag{34}$$

$$p_{y,ij} = \frac{p_{ij} - p_{ij-1}}{\Delta x} \tag{35}$$

E finalmente tem-se a solução para o tempo n+1 a partir do tempo passado n:

$$u^{n+1} = u^* - \frac{\Delta t}{\rho} p_x \tag{36}$$

$$v^{n+1} = v^* - \frac{\Delta t}{\rho} p_y \tag{37}$$

As equações acima são válidas para pontos internos. Para as fronteiras, comece considerando a parede da esquerda da cavidade, onde a velocidade normal é 0. Como nossa malha é escalonada, este ponto não está salvo na matriz e uma média deve ser feita de modo a determinar o ponto da fronteira da malha. Neste caso, teria-se:

$$\frac{v_{i-\frac{1}{2}j} + v_{i+\frac{1}{2}j}}{2} = 0$$

o que leva a:

$$v_{i-\frac{1}{2}j} = -v_{i+\frac{1}{2}j} \tag{38}$$

De maneira similar, para as paredes de baixo e da direita, tem-se:

$$u_{ij-\frac{1}{2}} = -u_{ij+\frac{1}{2}} \tag{39}$$

$$v_{i+\frac{1}{2}j} = -v_{i-\frac{1}{2}j} \tag{40}$$

Para a parte de cima, onde a velocidade é diferente de zero, tem-se:

$$\frac{u_{ij+\frac{1}{2}} + u_{ij-\frac{1}{2}}}{2} = u_{Bi}$$

 u_{Bi} é a condição de fronteira para o ponto na coluna i.

Retirando os índices fracionários:

$$v_{i-1j} = -v_{ij}$$
, esquerda (41)

$$u_{ij-1} = -u_{ij}$$
, embaixo (42)

$$v_{ij} = -v_{i-1j}$$
, direita (43)

$$u_{ij} = 2u_{Bi} - u_{ij-1}$$
, em cima (44)

fixando o índice de cada lado:

$$v_{0j} = -v_{1j}$$
, esquerda (45)

$$u_{i0} = -u_{i1}$$
, embaixo (46)

$$v_{n-1j} = -v_{n-2j}, \text{ direita}$$

$$\tag{47}$$

$$u_{in-1} = 2u_{Bi} - u_{in-2}$$
, em cima (48)

4 Validação

A validação do programa foi realizada pela comparação numérica e análise da evolução do erro conforme o número de pontos da malha aumenta.

4.1 Análise da Ordem do Erro

Para uma dimensão de tamanho N da malha escalonada, avaliou-se a diferença entre o ponto central nessa malha e em outras cujas dimensões eram menores. Pelo fato de toda a discretização realizada ser de ordem dois, deve-se ter que o erro diminui de forma quadrática com o aumento da dimensão N.

ADICIONAR GRAFICOS AQUI!

4.2 Comparação Numérica

Sabe-se que a vorticidade no centro da malha no tempo t=1 é $\omega(0.5,0.5,1)=-0.63925\pm0.00005$ e a força no topo é $F=3.8998\pm0.0002$. Os resultados do programa criado são apresentados na Tabela 1. Realizando-se a regressão linear dos 6 últimos pontos, tem-se que $\omega(0.5,0.5,1)=-0.639243$ que está dentro da faixa de erro. A força extrapolada é F=0.390296. Talvez haja algum erro no cálculo ou na faixa de erro dada.

n	ω	F	t (s)
50	-0.63835	0.38957	3.2
70	-0.63874	0.38986	38.4
80	-0.63884	0.38993	65.0
90	-0.63891	0.38999	104.4
100	-0.63895	0.39003	162.5
120	-0.63902	0.39008	328.9
140	-0.63905	0.39012	620.1
160	-0.63908	0.39014	993.3
180	-0.63910	0.39016	1637.7
200	-0.63911	0.39017	2391.8
220	-0.63912	0.39018	3476.0

Tabela 1: Resultados da simulação e evolução do tempo computacional

4.3 Cálculo da Força

Calcular-se-á a força resultante na parte superior da cavidade. Para isso, primeiro se tem de saber que a tensão cisalhante é calculada pela Equação 49:

$$\tau = \frac{1}{Re} \frac{\partial u}{\partial y} \tag{49}$$

A integral dessa tensão é a força que desejamos obter, dada pela Equação

$$F = \int_{A} \tau dA \tag{50}$$

Calculamos essa força por unidade de área, considerando a produndidade $P_z = 1$ e então $dA = P_z dx = dx$. Dessa forma tem-se a Equação 51. Note que, para o topo da cavidade, y = 1.

$$F(x,y) = \frac{1}{Re} \int_0^1 \frac{\partial u}{\partial y} dx \tag{51}$$

O cálculo dessa integral será feito pela regra de Simpson composta.

4.4 Poisson

O teste da solução real do problema de Poisson com fronteiras de Neumann e o algoritmo desenvolvido será demonstrado nesta seção. Dois problemas analíticos serão testados.

4.4.1 Problema 1

O primeiro problema é definido pela seguinte equação:

$$\begin{cases}
\nabla^2 u(x,y) = \cos \pi y \\
u_x(1,y) = \cos \pi y \\
u_n(x,y) = 0, \text{ caso contrário, na fronteira}
\end{cases} (52)$$

Este problema foi resolvido pelo método de separação de variáveis e então obteve-se o seguinte:

$$u(x,y) = \left(\frac{\cosh \pi x}{\pi \sinh \pi} - \frac{1}{\pi^2}\right) \cos \pi y \tag{53}$$

4.4.2 Problema 2

O segundo problema é definido pela seguinte equação:

$$\begin{cases}
\nabla^2 u(x,y) = 0 \\
u_x(1,y) = \cos 2\pi y \\
u_n(x,y) = 0, \text{ caso contrário, na fronteira}
\end{cases} (54)$$

Este problema foi resolvido pelo método de separação de variáveis e então obteve-se o seguinte:

$$u(x,y) = \frac{\cosh 2\pi x}{2\pi \sinh 2\pi} \cos 2\pi y \tag{55}$$

4.4.3 Problema 3

Neste caso, temos fronteiras do tipo Dirichlet e o código é um pouco modificado em relação aos casos anteriores. Isto nos permite avaliar se a discretização está condizente.

$$\begin{cases}
\nabla^2 u(x,y) = 0 \\
u(x,1) = \sin \pi x \\
u(x,y) = 0, \text{ caso contrário, na fronteira}
\end{cases} (56)$$

A solução, portanto, é:

$$u(x,y) = \frac{\sinh \pi y}{\sinh \pi} \sin \pi x \tag{57}$$

Referências

[1] Chorin A. J. Numerical solutions of the Navier-Stokes Equations. AMS, February 1968.